

10-40/AD-CO-180.- Panorámica del embalse del Dique de Beas sobre la Rivera del Castaño.



10-4-/AD-CO-181.- Esquistosidad S_2 (lápiz) buzando menos que la estratificación S_1 (grauvaca). Los estratos están invertidos. Es un flanco inverso correspondiente a un sinclinal volcado en dirección opuesta a la que se inclinan S_1 y S_2 es decir situado a la derecha de la foto. - Ctra. Valverde del Camino - Palma del Condado, Km 17,5.



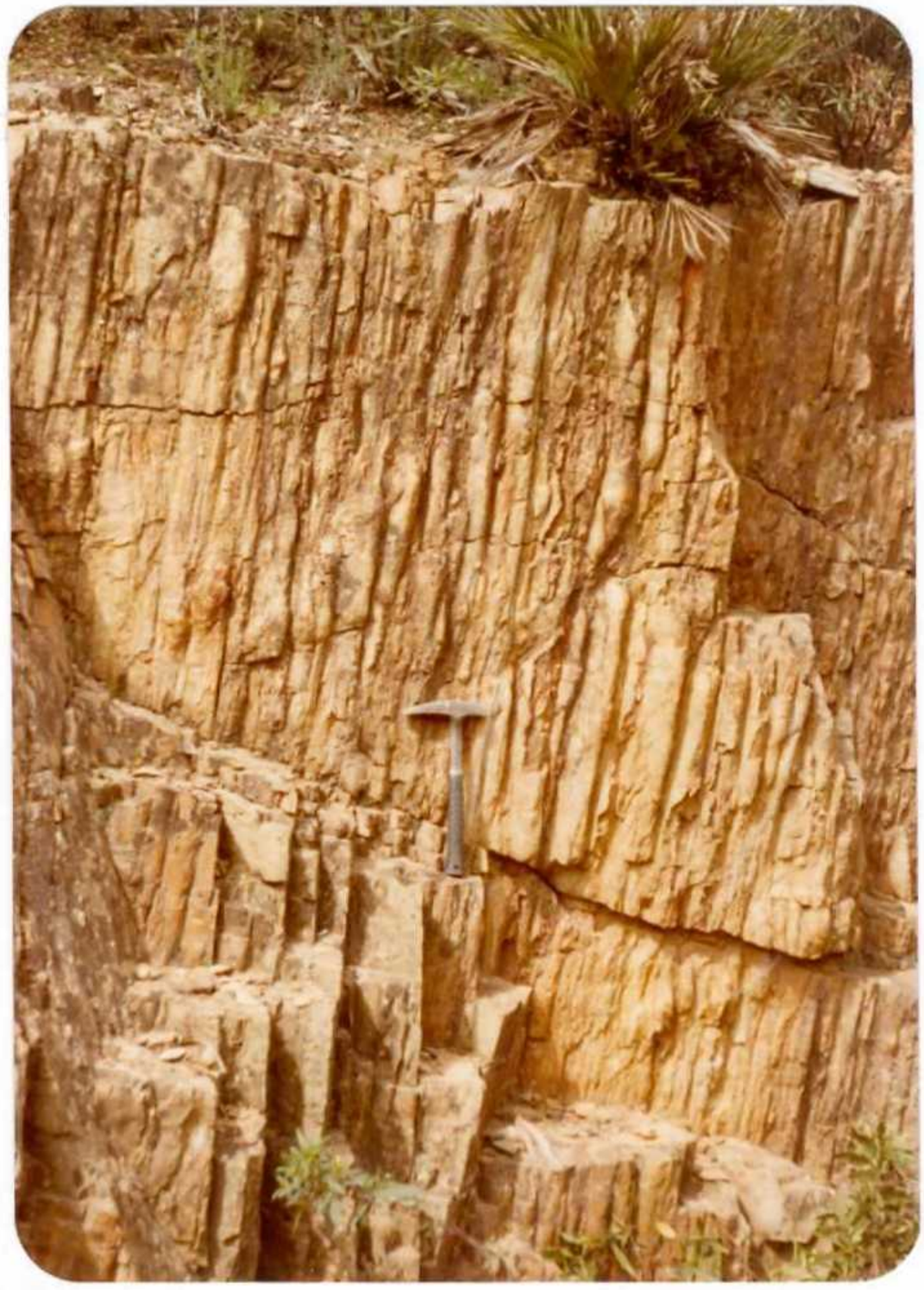
10-40/AD-CO-182.- Esquistosidad S_2 buzando más que la estratificación S_1. Flanco normal. Ctra Valverde del Camino - Palma del Condado, Km 17.



10-40/AD-CO-183.- Esquistosidad S_2 (bolígrafo buzando norte y estratificación S_1 (lápiz) buzando sur. Flanco normal. Ctra Valverde del Camino - Palma del Condado, km 17.



10-40/AD-CO-184.- Panorámica del río Tinto desde el puente Gadea, en la Ctra Valverde del Camino - Palma del Condado, km 23.



10-40/AD-CO-185.- Estructuras prismáticas "cleavage mullions" en la Ctra. Villalba de Alcor - El Berrocal cerca del río Corumbel.



10-40/AD-CO-186.- Ferrocarril minero con treinta vagones de la Cía. Riotinto en un camino hacia Huelva, a lo largo del río Tinto.



10-40/AD-CO-187.- Río Tinto y estación de los Manantiales sobre la línea férrea de la Cía Riotinto, km 46,5.



10-40/AD-CO-188.- Pliegues en V o kink folds sobre la esquistosidad S_2. En las Cordilleras, km 49 de la línea férrea de la Cía. Riotinto.



10-40/AD-CO-189.- Discordancia entre pizarras carboníferas y arenas miocenas en la Ctra Valverde del Camino - Palma del Condado, km 22.



10-40/AD-CO-190.- Capillas de manganeso de 10 cm de potencia - sobre pizarras de la formación del Cenijo , del Complejo Volcánico Sedimentario.



10-40/AD-CO-191.- Pizarras del Complejo Volcánico Sedimentario impregnadas de óxidos de manganeso.



10-40/AD-CO-192.- Estructuras de carga (load casts) en el muro de un estrato de grauvacas. En el tramo del ferrocarril minero desde la estación de Beas en dirección a Valverde.



10-40/AD-CO-193.- Estructuras de marcas de corriente, flute - casts, en el muro de un estrato de grauvacas. En el tramo del ferrocarril minero desde la estación de Beas en dirección a Valverde.



10-40/AD-LE-551.- Cantera al Sur de Niebla. Dolomías del Muschelkal con la colada de basaltos doleríticos suprayacentes. Puede observarse las lavas almohadilladas en el sector central.



10-40/AD-LE-552.- Un aspecto de la misma formación. Dolomías - rosadas y ocres en él base y grandes pilow al techo.



10-40/AD-LE-553.- La colada de basaltos doleríticos.



10-40/AD-LE-554.- Cantera en las calizas de las facies transgresiva en la margen izquierda del Tinto próxima a Niebla.



10-40/AD-LE-555.- Cantera en la misma formación al Norte de Niebla margen derecha del Tinto.



10-40/AD-LE-556.- Megariples lunares bajo las calizas de la "facies transgresivas" en la misma cantera.



10-40/AD-LE-557.- Detalle del carácter biogénico de esta formación en el sector de Niebla.



10-40/AD-LE-558.- Detalle de la transgresión en el sector Nordeste. Carretera de La Palma a Berrocal km 6,5. En la base pizarras del Carbonífero, a techo "microconglomerados con ostreas nacaradas y cemento carbonatado-ferruginoso.



10-40/AD-LE-559.- Cantera en margas azules (Andaluciense) a la izquierda de la carretera Niebla - Almonte . (Km 16.500).



10-40/AD-LE-560.- Cantera en margas azules. (Andaluciense) a la izquierda de la carretera Niebla - La Rabida.



10-40/AD-LE-561.- Cantera en las margas azules (Andaluciense) a la izquierda de la carretera La Palma - Almonte muy próxima a la primera localidad.



10-40/AD-LE-562.- Los "limos amarillos" (Andaluciense Superior) en Trigueros.



10-40/AD-LE-563.- Detalle de lumaquelas intercaladas en los - "limos amarillos. Carretera de la Palma a Bo llulos del Condado.



10-40/AD-LE-564.- Cantera en las "arenas basales" (Pliocuaternario). Carretera de La Palma a Bollulos próximo a esta última localidad.



10-40/AD-LE-565.- Las arenas blancas del manto eólico sobre las "arenas basales" en esta cantera.



10-40/AD-LE-566.- "Arenas basales" en esta cantera. Detalle de las intercalaciones margosas azóicas en esta formación.



10-40/AD-LE-567.- "Arenas basales" con fuerte cemento ferruginoso al contacto con el glacis superior. A techo arenas del manto eólico. Nuevo trazado de la autopista Sevilla - Huelva.